

VIVINEX IMPRESS™ BE IMPRESSED

Establezca un nuevo punto de
referencia para los resultados
visuales conseguidos para sus
pacientes monofocales

Vivinex Impress™ mejora la vision intermedia de los pacientes monofocales

Vivinex Impress™



RANGO DE VISION

LEJOS



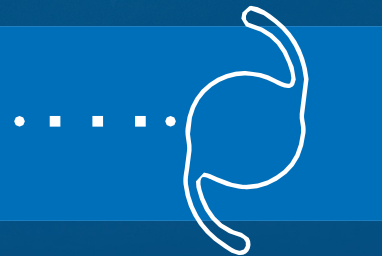
INTERMEDIA



CERCA

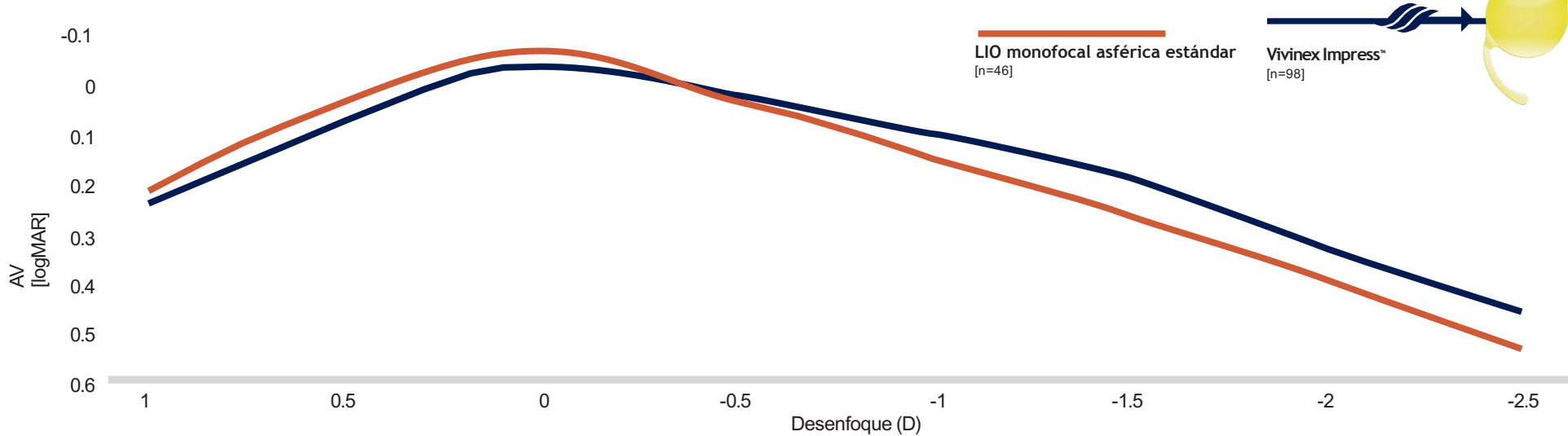


LIO monofocal
asférica estándar

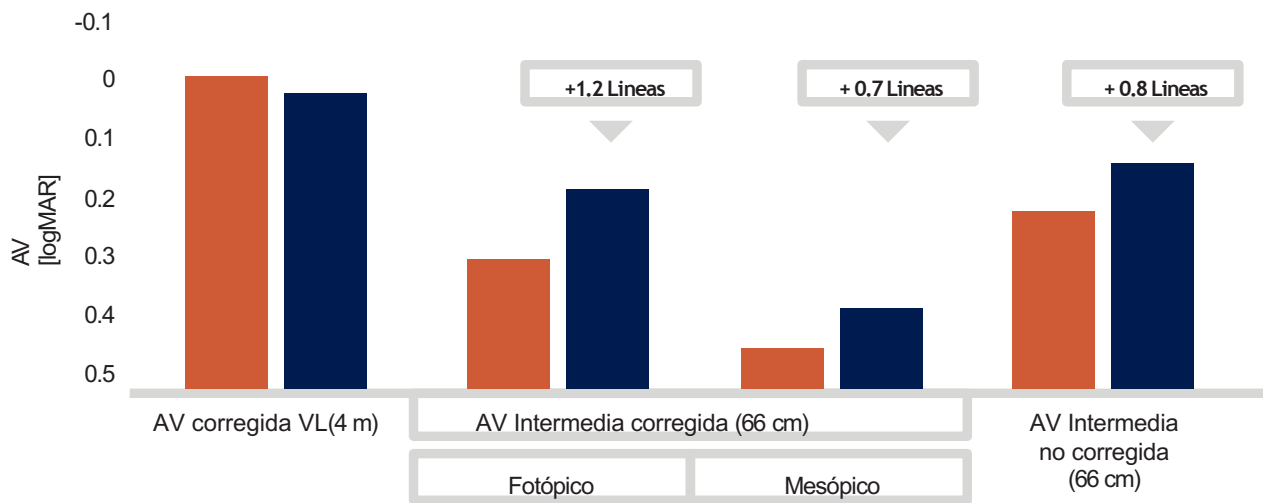


Vivinex Impress™ proporciona una mejora significativa en la Agudeza Visual Intermedia

Curva de desenfoque monocular¹



Test AV monocular¹



Vivinex Impress™ proporciona visión lejana equivalente a LIO monofocal esférica estándar

En todas las condiciones, Vivinex Impress™ presenta una mejora significativa a 66 cm comparando con LIO esférica monofocal estándar

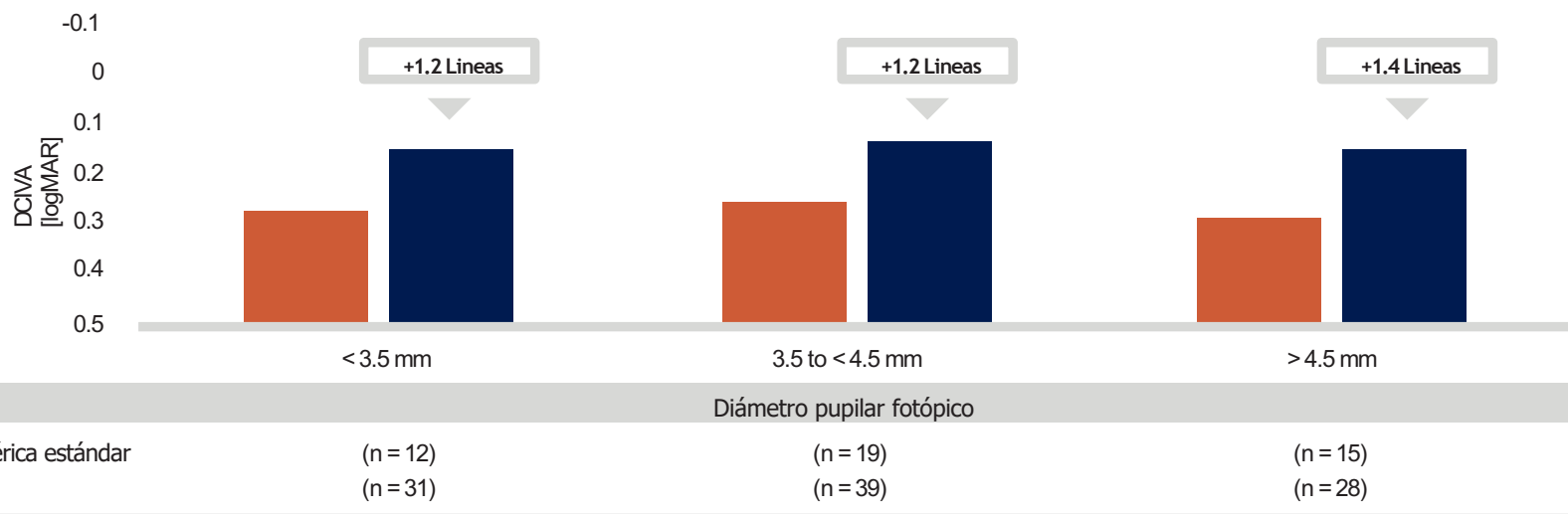
■ LIO monofocal esférica estándar (n = 46) ■ Vivinex Impress™ (n = 98)

Datos recogidos en ensayo clínico multicéntrico 12-14 meses postop

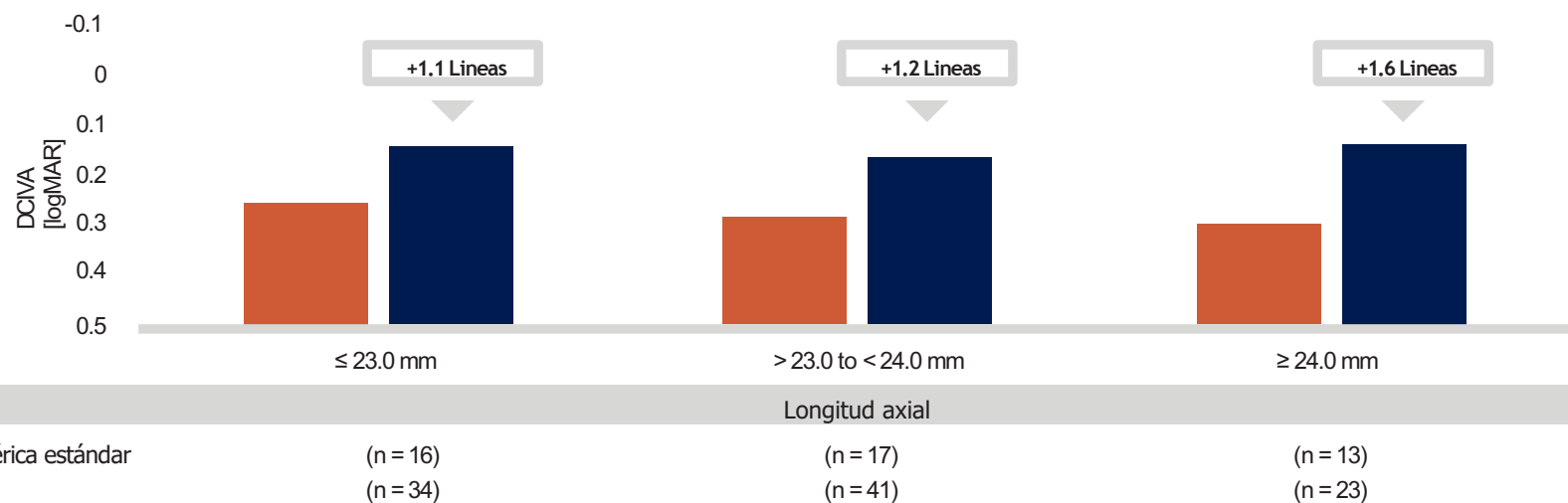
Vivinex Impress™ proporciona más de 1 línea de mejora en Visión Intermedia independientemente del tamaño pupilar y la longitud axial



Mejora en Agudeza Visual Intermedia según diámetro pupilar¹



Mejora en Agudeza Visual Intermedia visual según longitud axial¹

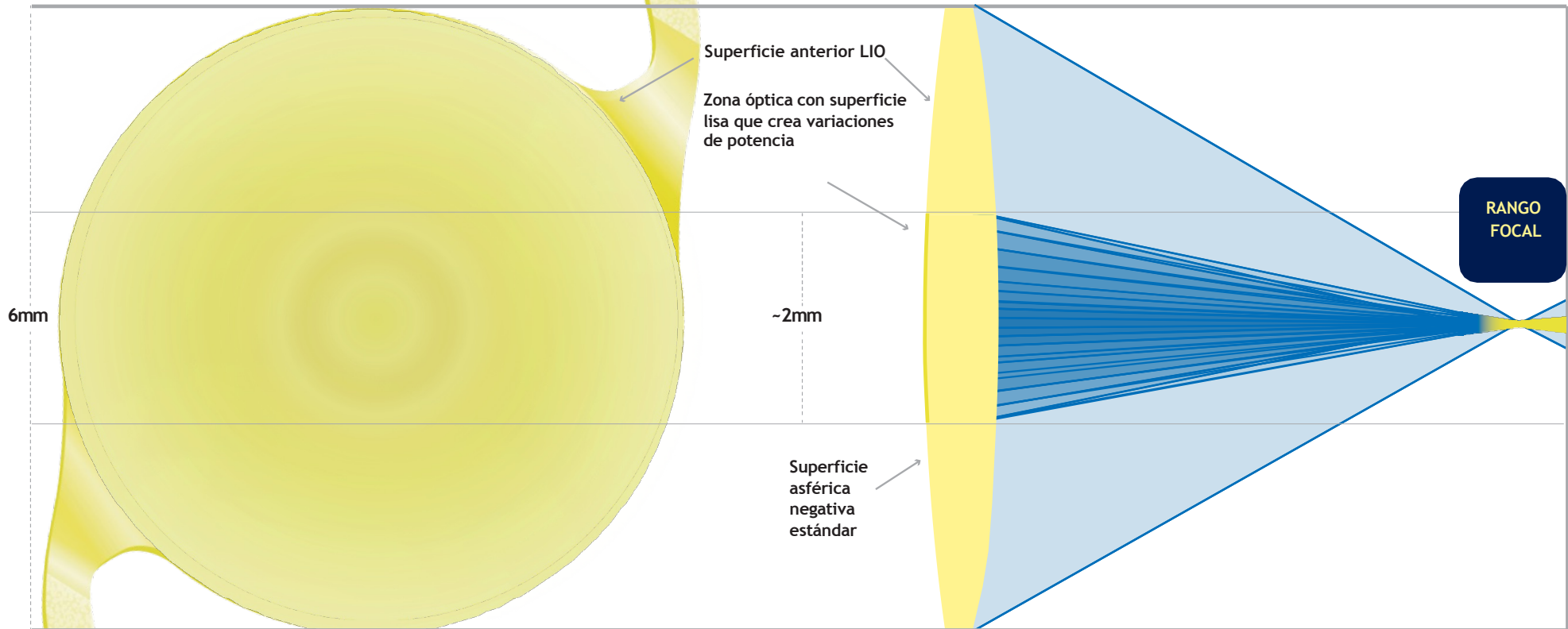


¿Cómo funciona Vivinex Impress™?

La representación topográfica de la superficie anterior de Vivinex Impress™ presenta variaciones de potencia

Representación lateral de Vivinex Impress™

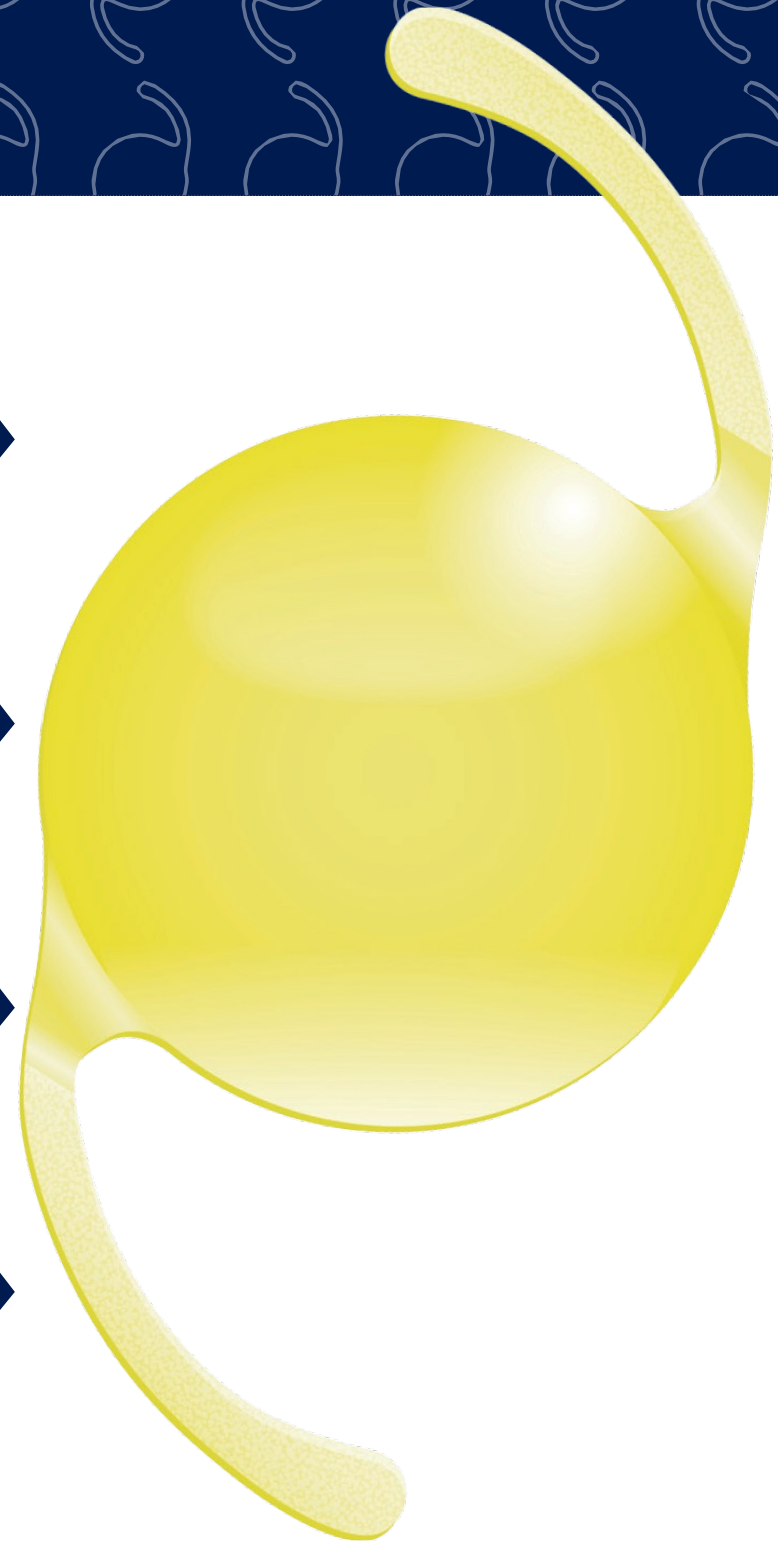
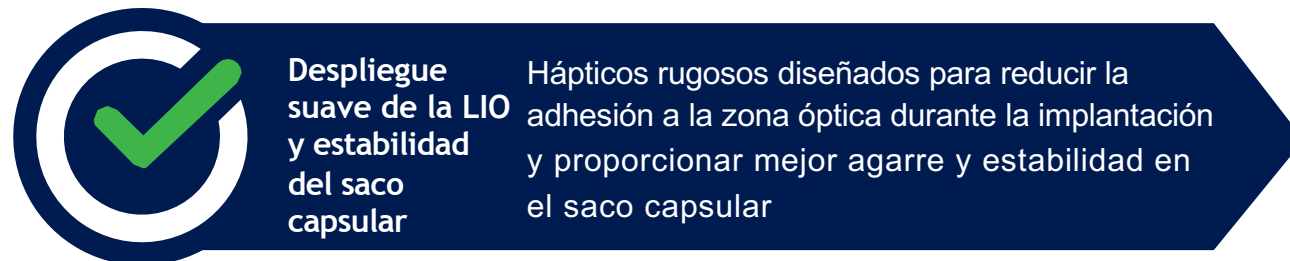
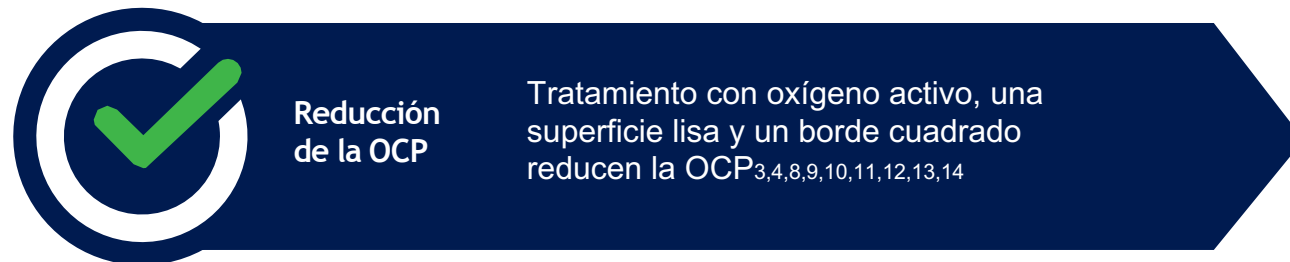
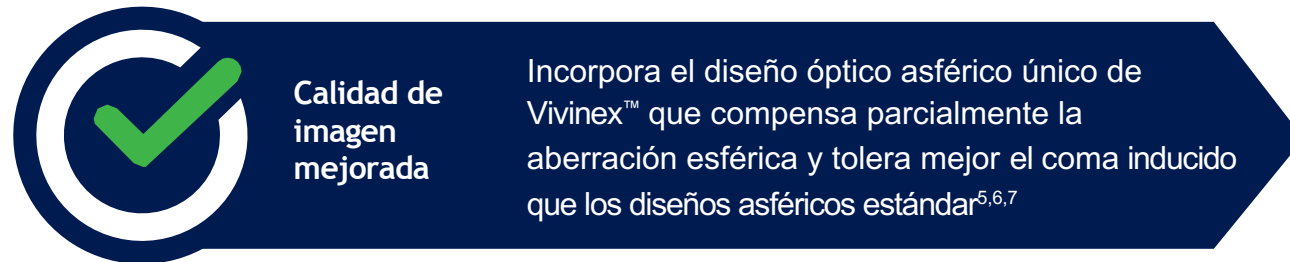
Representación de la luz refractada por la óptica de Vivinex Impress™ para crear un rango focal extendido



Esta imagen tiene sólo fines ilustrativos y no es una representación exacta del producto.

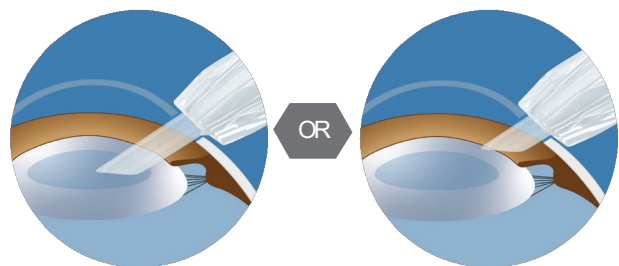
La zona óptica central crea variaciones de potencia que proporcionan un rango focal extendido y una mejora en Visión Intermedia. Vivinex Impress™ tiene la misma apariencia que una LIO monofocal estándar.

Beneficios de la plataforma Vivinex™



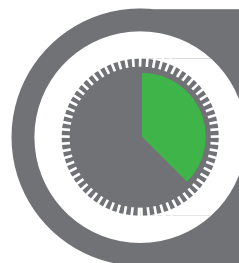
Precargada en el inyector multiSert™

Modos rosca y émbolo y capacidad de controlar la profundidad de la inserción. Vivinex™ multiSert™ es un sistema de inyección 4-en-1 que le permite conseguir una fiabilidad excepcional con el modelo de inyección e inserción que elija¹⁵



Inserción dentro del
saco capsular
Protector de inserción:
Posición por defecto

Inserción a través del
túnel incisional
Protector de inserción:
Posición avanzada



Los inyectores precargados son:

Más fáciles de preparar, aumentando la seguridad:^{16,17,18,19,20,21}

- Reduciendo el riesgo de contaminación e infección
- Reduciendo el riesgo de dañar la LIO

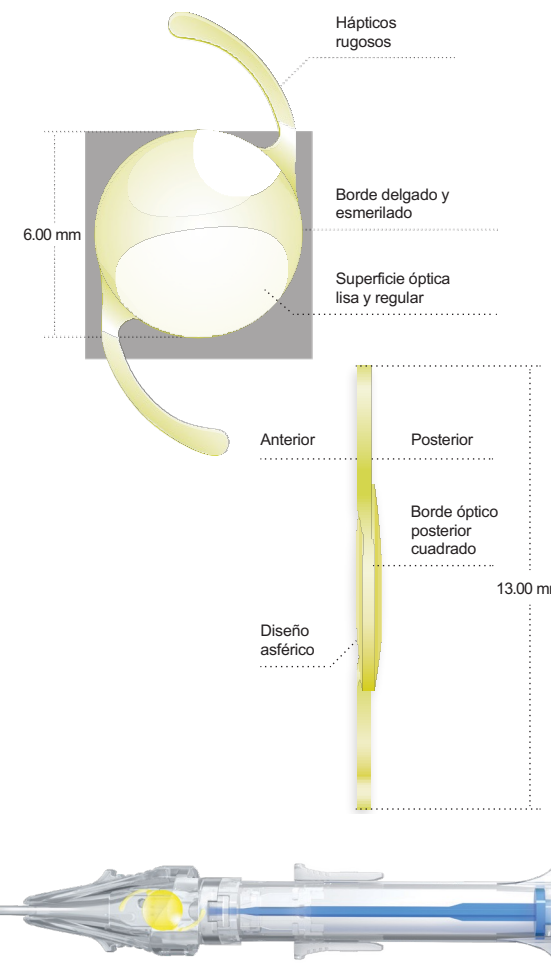
Más eficientes en quirófano:^{18,20}

- Al minimizar el tiempo de preparación del sistema de inyección
- Generando menos esterilización de instrumentos

Mayor predictibilidad:²⁰

- Aumentando la previsibilidad y confianza en la inyección de la LIO

	Vivinex Impress™
Nombre del modelo	XY1-EM
Diseño de la óptica	Biconvexo con borde anterior fino, cuadrados y esmerilado: Diseño esférico
Materiales de óptica y hápticos	Acrílico hidrofóbico Vivinex™ con filtro para luz azul y UV
Diseño de hápticos	Hápticos con superficie rugosa
Diámetro (óptica/LAO)	6.00 mm / 13.00 mm
Potencia LIO (equivalente esférico)	De +6.00 D a +30.00 D en incrementos de 0.50 D
Constante A-nominal*	118.8
Inyector	multiSert™ precargado
Diámetro exterior de la punta del inyector	1.70 mm
Tamaño de incisión recomendado	2.20 mm



SCAN HERE TO VIEW PRODUCT INFORMATION

Precargada en inyector multiSert™

CE 0123 2024-08-16_HSOE_XY1-EM_BR_EN

References: 1. Manuscript submitted for publication in August 2024 2. HOYA data on file RnD-20-367, HOYA Medical Singapore, Pte. Ltd, 2023 3. Tandogan, T. et al. (2021): In-vitro glistening formation in six different foldable hydrophobic intraocular lenses. In: BMC Ophthalmol 21, 126. 4. Auffarth, G. U. et al. (2023). Randomized multicenter trial to assess posterior capsule opacification and glistenings in two hydrophobic acrylic intraocular lenses. In: Scientific reports, 13 (1), 2822. 5. Perez-Merino, P.; Marcos, S. (2018): Effect of intraocular lens decentration on image quality tested in a custom model eye. In: Journal of cataract and refractive surgery 44 (7), p. 889–896. 6. Chandra, K. K. et al. (2022): Effect of decentration on the quality of vision: comparison between aspheric balance curve design and posterior aspheric design intraocular lenses. Journal of cataract and refractive surgery 48 (5), p. 576–583. 7. Thakur, A. et al. (2024): Effect of decentration on the quality of vision in two aspheric posterior chamber intraocular lenses: A contralateral eye study. In: Indian J Ophthalmol. 72 (4), p. 558–564. 8. Leydolt, C. et al. (2020): Posterior capsule opacification with two hydrophobic acrylic intraocular lenses: 3-year results of a randomized trial. In: American journal of ophthalmology 217 (9), p. 224–231. 9. Giacinto, C. et al. (2019): Surface properties of commercially available hydrophobic acrylic intraocular lenses: Comparative study. In: Journal of cataract and refractive surgery 45 (9), p. 1330–1334. 10. Werner, L. et al. (2019): Evaluation of clarity characteristics in a new hydrophobic acrylic IOL in comparison to commercially available IOLs. In: Journal of cataract and refractive surgery 45 (10), p. 1490–1497. 11. Nanavaty, M. et al. (2019): Edge profile of commercially available square-edged intraocular lenses: Part 2. In: Journal of cataract and refractive surgery 45 (6), p. 847–853. 12. Matsushima, H. et al. (2006): Active oxygen processing for acrylic intraocular lenses to prevent posterior capsule opacification. In: Journal of cataract and refractive surgery 32 (6), p. 1035–1040. 13. Farukhi, A. et al. (2015): Evaluation of uveal and capsule biocompatibility of a single-piece hydrophobic acrylic intraocular lens with ultraviolet-ozone treatment on the posterior surface. In: Journal of cataract and refractive surgery 41 (5), p. 1081–1087. 14. Eldred, J. et al. (2019): An In Vitro Human Lens Capsular Bag Model Adopting a Graded Culture Regime to Assess Putative Impact of IOLs on PCO Formation. In: Investigative ophthalmology & visual science 60 (1), p. 113–122. 15. HOYA data on file. DoF-SERT- 102-MULT-03052018, HOYA Medical Singapore Pte. Ltd, 2018. 16. Galor, A. et al. (2013). Management strategies to reduce risk of postoperative infections. In Current ophthalmology reports, 1 (4), 10.1007/s40135-013-0021-5. 17. Bodnar, Z. et al. (2012). Toxic anterior segment syndrome: Update on the most common causes. In: Journal of cataract and refractive surgery, 38 (11), p. 1902–1910. 18. Jones, J. et al. (2016). The impact of a preloaded intraocular lens delivery system on operating room efficiency in routine cataract surgery. In: Clinical ophthalmology (Auckland, N.Z.), 10, p. 1123–1129. 19. Park, C. et al. (2018). Toxic anterior segment syndrome-an updated review. In: BMC ophthalmology, 18(1), 276. 20. Chung, B. et al. (2018). Preloaded and non-preloaded intraocular lens delivery system and characteristics: human and porcine eyes trial. In: International journal of ophthalmology, 11 (1), 6–11. 21. Schmidbauer, J. et al. (2002): Rates and causes of intraoperative removal of foldable and rigid intraocular lenses: clinicopathological analysis of 100 cases. In: Journal of cataract and refractive surgery, 28 (7), 1223–1228. * The A-constant is presented as a starting point for the lens power calculation. When calculating the exact lens power, it is recommended that calculations be performed individually, based on the equipment used and operating surgeon's own experience.

Information contained is intended for health care professionals. Please refer to the Instructions For Use for the intended purpose and a full list of indications and contraindications. Some of the products and/or specific features as well as the procedures featured in this document may not be approved in your country and thus may not be available there. Design and specifications are subject to change without prior notice as a result of ongoing technical development. Please contact our regional representative regarding individual availability in your country. HOYA, Vivinex Impress, Vivinex and multiSert are trademarks of the HOYA Corporation or its affiliates. ©2024 HOYA Medical Singapore Pte. Ltd. All rights reserved. HOYA Medical Singapore Pte. Ltd. 10 Biopolis Road #04-01/06, Chromos, Singapore 138670, SINGAPORE HOYA Surgical Optics GmbH | De-Saint-Exupery-Str. 10 | 60549 Frankfurt am Main | Germany | Hotline DE: Tel. +49 (0)800 664 2 664 | Fax +49 (0)800 774 2 774 hoyasurgicaloptics.com